

تحلیل پایداری و طراحی سیستم نگهدارنده تونل انحراف سد خرسان ۳

رسول اجل لوئیان*، رسول دادخواه، محمود هاشمی

گروه زمین شناسی، دانشکده علوم، دانشگاه اصفهان، اصفهان، ایران

* مسئول مکاتبات- آدرس الکترونیکی: rasajl@sci.ui.ac.ir

(دریافت: ۸۴/۵/۴؛ پذیرش: ۸۵/۶/۲۷)

چکیده

تونل انحراف آب سد خرسان ۳ با هدف تسهیل در مراحل اجرایی سد مذکور در نظر گرفته شده است. مسیر تونل از بین لایه‌های آهکی سازند آسماری می‌گذرد. این منطقه در ناحیه زاگرس چین خورده واقع گردیده که در اثر آن گسل‌ها و ناپیوستگی‌های متعددی در توده سنگ‌های مسیر بوجود آمده و محمل شکستگی‌های فراوان شده است. در مقاله حاضر جهت طبقه بندي‌های تونل از طبقه بندي‌های ژئومکانیکی (Bieniawski 1989)، شاخص تونل‌سازی در سنگ (Barton *et al.* 1980) و شاخص مقاومت زمین شناسی (Hoek & Brown 1997) استفاده شده است. بر اساس این طبقه بندي‌ها سیستم نگهدارنده مناسب طراحی گردیده است. همچنین با توجه به عمق کم حفاری و ناپیوستگی‌های منطقه آنالیز ناپایداری ساختاری در راستای محور تونل انجام گردیده و گوه‌های ناپایدار احتمالی به کمک نرم افزار مربوطه شناسایی شده اند. نهایتاً با استفاده از نرم افزار که بر پایه روش اجزاء محدود می‌باشد، تونل مورد نظر تحلیل شده است. در طی این تحلیل مناطق دارای بیشترین و کمترین جابجایی و همچنین نقاط تمرکز تنفس شناسائی شده است و بر اساس آن سیستم نگهدارنده تونل مورد بررسی قرار گرفته است.

واژه‌های کلیدی: خرسان، دگرشکلی پذیری، زمین شناسی مهندسی، ساختگاه سد، طبقه بندي سنگ، مقاومت

تونل انحراف از بین لایه‌های آهکی سازند آسماری عبور می‌کند. این سازند از سنگ‌های کرم رنگ، توده‌ای و بسیار مقاوم که دارای تخلخل و شکستگی بوده که در بخش زیرین از آهک‌های مارنی به همراه دولومیت و در بخش بالایی از آهک ضخیم لایه با کمی میان لایه مارنی تشکیل گردیده است. سن این سازند الیکووسن تا میوسن میانی در نظر گرفته شده است. با توجه به ساختمان زمین شناسی منطقه، حفاری این تونل ابتدا به منظور ایجاد سازه ورودی در بخش آسماری بالای انجام خواهد شد و پس از برداشت روباره، تا متراز ۹۰ متری در همین واحد سنگی حفاری می‌شود. پس از این متراز به بعد تا انتهای تونل در بخش آسماری پایینی حفاری انجام خواهد گرفت (اجل لوئیان و دادخواه ۱۳۸۳).

مقدمه

تونل انحراف یکی از سازه‌هایی است که باید در مراحل نخست ساخت یک سد اجرا گردد. در همین راستا جهت ساخت سد خرسان ۳ بر روی رودخانه خرسان که یکی از سر شاخه‌های اصلی رودخانه کارون می‌باشد این سازه طراحی شده است. این تونل انحراف دارای طولی برابر ۷۸۴ متر و قطری معادل ۱۳ متر طراحی گردیده است.

منطقه مورد مطالعه در ۵۰ کیلومتری جنوب شرق شهرستان لردگان از توابع استان چهار محال و بختیاری، در دامنه شمال شرق زاگرس چین خورده با طول جغرافیایی "۲۵°، ۵۸' و عرض جغرافیایی "۵۰°، ۱۴' ۳۱° واقع گردیده است. این منطقه در محدوده زاگرس چین خورده قرار دارد و از توالی ضخیمی از سنگ‌های رسوبی تشکیل شده است که در اثر کوهزایی آپی در زمان پلیوسن به شکل مجموعه‌ای از طاقدیس و ناویدیس در آمده است. چین خورده‌گی‌های این منطقه دارای روند شمال غرب-جنوب شرق می‌باشند. مهمترین گسل منطقه، گسل طلایه می‌باشد که بصورت گسل رانده دارای زاویه شبیبی بسمت جنوب غرب بوده و در حدود ۲۵ کیلومتر طول دارد. سایت مورد مطالعه در فاصله یک کیلومتری شمال غرب آن واقع شده است. محل سد و تونل انحراف ببروی یال غربی یکی از طاقدیس‌ها بنام لکی می‌باشد.

درزه نگاری منطقه مورد مطالعه

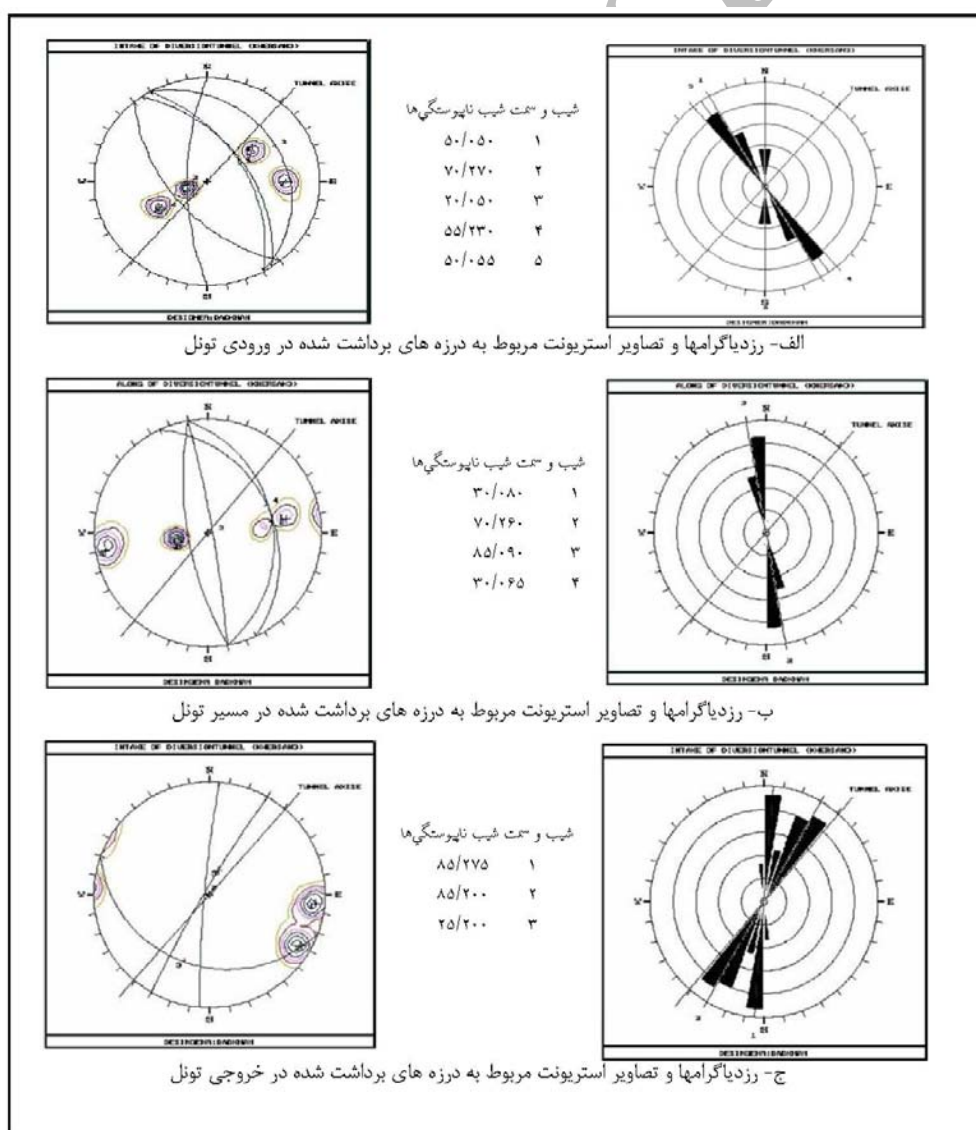
به منظور شناخت لایه‌های زیرین تعداد ۷ حلقه گمانه بر روی محور تونل اجرا گردیده است، که در مجموع ۶۲۴ متر حفاری انجام گرفته است که عمق گمانه‌ها بین ۲۰ تا ۱۲۰ متر می‌باشد. بر اساس گمانه‌های حفر شده در مسیر تونل، میانگین RQD برای توده سنگ‌های در بر گیرنده مسیر تونل معادل ۶۰ تا ۷۰٪ می‌باشد و شاخص کیفیت سنگ نسبتاً خوب است. همچنین ناپیوستگی‌های مسیر تونل اعم از

خروجی تونل متفاوت می‌باشد. با توجه به جهت یافته‌گی درزه‌ها نسبت به امتداد حفاری و لیتوژوئی منطقه و عمق کم تونل (کمتر از ۱۰۰ متر) بیشترین نوع ناپایداری لغزشی و ریزش‌های گوه سنگی از دیواره و سقف تونل می‌باشد (اجل لوئیان و دادخواه ۱۳۸۳). این موضوع در دیواره و سقف تونل قابل بررسی می‌باشد و در بخش‌های بعدی به تفصیل توضیح داده می‌شود.

با توجه عمق کم حفاری تونل و شرایط توده سنگهای درزه دار، به نظر می‌رسد بارزترین گسیختگی از نوع سقوط گوه‌ها و یا ریزش قطعات سنگی از دیواره می‌باشد. اینگونه ریزشها در اثر تقاطع چند سیستم ناپیوستگی پس از حفاری و ایجاد سطح آزاد بوجود می‌آیند. قبل از هرگونه حفاری در این مناطق بایستی در ابتداء گوه‌های احتمالی را شناسایی نموده و سپس جهت جلوگیری از سقوط گوه‌های سست سیستم نگهدارنده را بر اساس جنس سنگ، وزن گوه و دیگر شرایط زمین شناسی طراحی نمود. بر این اساس جهت تشخیص گوه‌های

درزه‌ها و لایه‌بندی‌ها بر اساس برداشت‌های صحرائی به روش آماری و بر اساس استاندارد ASTM D4879-89 مورد تجزیه و تحلیل قرار گرفته است. به همین منظور پارامترهایی نظیر شیب، جهت شیب، بازشدگی، پرشدگی، فاصله داری، زبری، شرایط آبهای زیرزمینی و غیره مدنظر قرار گرفته شده است.

در مجموع حدود ۲۷۱ درزه در محدوده مورد مطالعه برداشت شده است. در بخش ورودی حدود ۱۰۰ درزه و در مسیر تونل ۱۲۰ درزه و در بخش خروجی حدود ۵۱ درزه مورد بررسی واقع شده است. درزه‌های برداشت شده عمدتاً از کلسیت، رس و اکسید آهن پرشده و سطح آنها مسطح و زبر و گاهی همراه خشن لغزش می‌باشد و از لحظه رطوبت به جز موارد محدود غالباً خشک و نمناک می‌باشند. تصاویر استریوونت به همراه نمودارهای رزدیاگرام درزه‌های برداشت شده در ورودی، مسیر و خروجی تونل در شکل ۱ آورده شده است، در طی برداشت درزه‌ها به علت وجود طاقدیس لکی سمت شیب در ورودی و



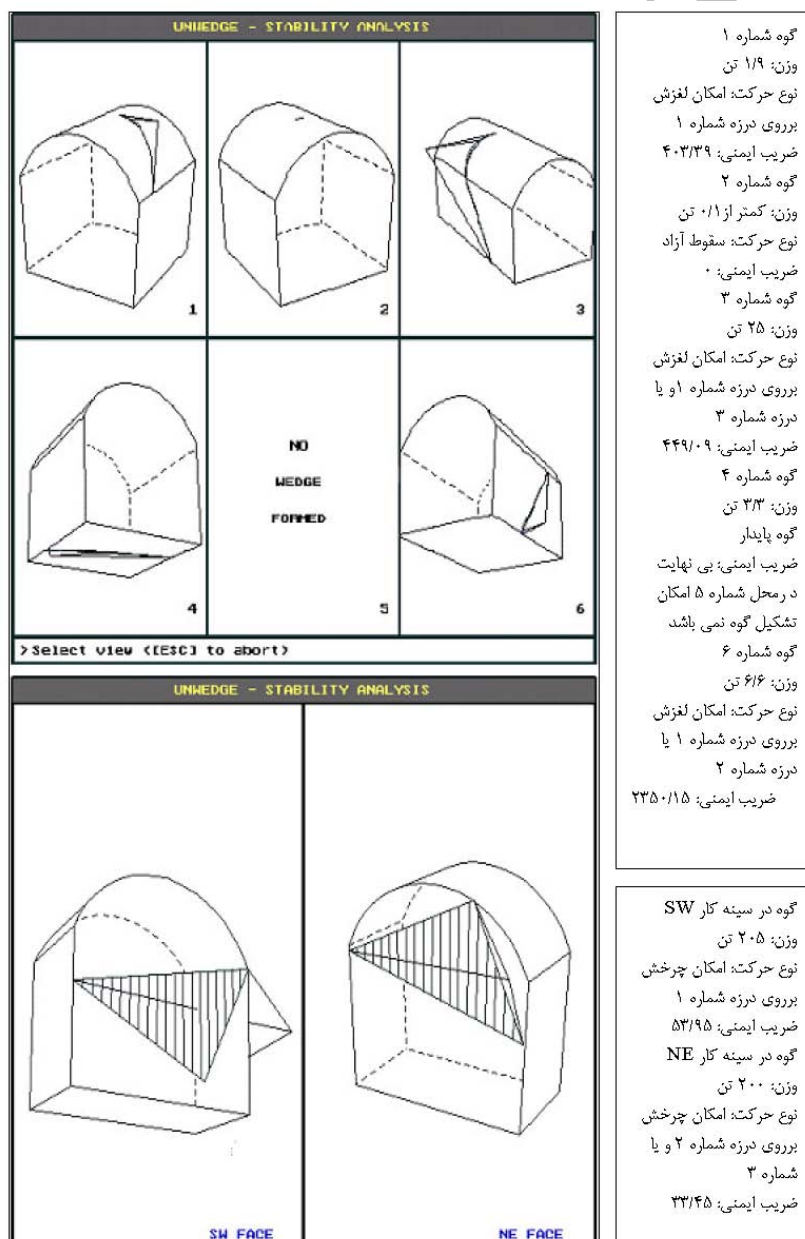
شکل ۱- رزدیاگرامها و تصاویر استریوونت مربوط به درزه‌های برداشت شده در منطقه مورد مطالعه.

گیری شوند و یا از سیم توری و یا شاتکریت استفاده گردد. بدین ترتیب نیازی به نگهداری سیستماتیک نمی‌باشد.

پس از انجام محاسبات، بزرگترین گوههایی که در شرایط هندسی موجود می‌توانند شکل بگیرند شناسایی گردیده و سپس مناسبترین سیستم مقاوم سازی را برای پایداری تونه سنگ در برگیرنده تونل به گونه‌ای بر می‌گزینند که بیشترین پایداری و کمترین هزینه را در برداشته باشد. عمدت ترین سیستم نگهدارنده برای گوههای بزرگ پیچ سنگ و برای گوههای کوچک بتن پاشیده شده و شبکه سیمی می‌باشد (قارونی و همزه ابیازنی ۱۳۸۰).

بالقوه از نرم افزار UNWEDGE 2.21 استفاده گردیده است. در این نرم افزار داده‌های ورودی شامل شبیب، سمت شبیب، میزان بازشدگی، پرشگی، زبری، چسبندگی و زاویه اصطکاک داخلی می‌باشد (مدنی ۱۳۷۹ و ۱۳۸۱). شکل ۲ نمونه‌ای از گوههای شناسایی شده در سازه زیر زمینی مورد نظر توسط این نرم افزار را نشان می‌دهد.

حال با در نظر گرفتن نتایج حاصل از تحلیل توسط نرم افزار می‌توان دریافت که گوههای ناپایدار اگرچه به تعداد زیاد هستند ولی حجم آنها در مقایسه با کل تونه سنگ اطراف کم بوده و دارای وزنی کمتر از یک تن می‌باشند که لازم است سریعاً پس از حفاری لق



شکل ۲- نمونه از گوههای شناسایی شده در مسیر تونل.

RMR تعیین بار مؤثر و میزان ارتفاع بار سنگ بر اساس

میزان بار مؤثر بر سیستم نگهدارنده و همچنین ارتفاع بار سنگ را Bieniawski به کمک فرمولهای زیر تعیین می‌نماییم (جدول ۲؛ Bieniawski 1989).

$$P = H \times \gamma B \quad (1)$$

$$H = \frac{100 - RMR}{100} \quad (2)$$

جدول ۲- میزان ارتفاع بار سنگ و فشار مؤثر بر اساس رده بندی ژئومکانیکی.

موقعیت	ارتفاع بار سنگ بر حسب فشار مؤثر بر سیستم نگهدارنده بر حسب کیلو نیوتن	متر
ورودی	۱۴/۵۸	۵/۱
مسیر	۱۳/۷۷	۵/۴
تونل	۱۴/۵۸	۵/۱
خروجی		

با داشتن میزان RMR و پارامترهای تعیین شده در این قسمت توصیه‌های لازم جهت حفاری و نگهداری تونل تعیین شده و نتیجه در جدول ۳ آورده شده است.

شاخص کیفی تونل زنی در سنگ (Q)

جهت رده بندی تونل سنگ در بخش ورودی، مسیر تونل و خروجی از سیستم طبقه بندی Q استفاده گردیده است. جدول ۴ میزان بدست آمده Q در بخش‌های مختلف را نشان می‌دهد (Barton et al. 1980). بر آورد نگهدارنده لازم بر اساس سیستم Q جهت تحلیل و توصیف سیستم‌های مورد نیاز جهت پایداری تونل پس از حفاری نیاز به بعد معادل حفاری می‌باشد و بر این اساس میزان عددی Q را به نگهدارنده تونل مرتبط می‌سازد، این پارامتر با تقسیم دهانه (قطر و یا ارتفاع دیواره حفاری) بر کمیت نسبت نگهدارنده حفاری ESR بدست می‌آید (Hoek & Brown 1980). با توجه به میزان بعد معادل بدست آمده و مقدار Q و به کمک نمودار مربوطه حداکثر دهانه بدون نگهدارنده را تعیین می‌نماییم، همچنین جهت تعیین میزان دهانه بدون نگهدارنده و فشار تکیه گاهی دائمی از فرمولهای زیر استفاده می‌نماییم. نتایج این بخش در جدول ۵ آورده شده است. بر اساس میزان Q توصیه‌های لازم جهت حفاظت از تونل در جدول ۶ آورده شده است (Barton 1995, 1999, 2002).

روشهای تجربی تحلیل پایداری

سیستم‌های طبقه بندی RMR (Bieniawski 1976, 1989) و GSI (Barton et al. 1980) جهت طبقه بندی سنگ‌های در برگیرنده تونل استفاده گردیده است.

طبقه بندی ژئومکانیکی تونل سنگ (RMR)

جهت رده بندی تونل سنگ در بخش ورودی، مسیر تونل و خروجی از سیستم طبقه بندی اصلاح شده RMR و یا CSIR در سال ۱۹۸۹ استفاده گردیده است. جدول ۱ میزان RMR بدست آمده در بخش‌های مختلف را نشان می‌دهد (اجل لوئیان و محمدی ۱۳۸۲، طاهریان ۱۳۸۱).

جدول ۱- طبقه بندی منطقه مورد مطالعه بر اساس RMR

پارامترها	خرجی	مسیر تونل	ورودی	خرجی	مقاومت تراکمی تک (Mpa)
		مقدار امتیاز	مقدار امتیاز	مقدار امتیاز	محوری
۷	۶۲	۷	۷۱	۷	۶۴
۱۳	۶۷	۱۳	۷۰	۱۳	۶۵
۹	۶۰۰	۸	-۲۰۰	۹	-۶۰۰
۶۰	۶۰	۶۰	۶۰	۶۰	فاصله ناپیوستگی (mm)
۲۵	۲۵	۲۵	۲۵	۲۵	شوابط ناپیوستگی
۱۵	خشک	خشک	خشک	خشک	آب زیرزمینی
-۵	-۵	-۵	-۵	-۵	تعديل برای جهت یابی درزه
۶۴	۶۶	۶۶	۶۴	۶۴	RMR
سنگ خوب (۲)	کلاس				
برای دهانه ۱۵	متوسط زمان خود پایداری				
متري کمتر از یک ماه					
۲۰۰-۳۰۰	۲۰۰-۳۰۰	۲۰۰-۳۰۰	۲۰۰-۳۰۰	۲۰۰-۳۰۰	چسبندگی تونل سنگ (Kpa)
۴۰-۴۵	۴۰-۴۵	۴۰-۴۵	۴۰-۴۵	۴۰-۴۵	زاویه اصطکاک (درجه)

جدول ۳- سیستم نگهداری پیشنهادی برای تونل بر اساس رده بندی ژئومکانیکی (Bieniawski 1989).

سنگ	کلاس تونل	حفاری	نگهدارنده	پیچ سنگ	پتن پاشیده	قب فلزی
سنگ خوب RMR=80-61	سنگ خوب	حفاری به صورت تمام مقطع با پیش روی ۱ تا ۱/۵ متر در هر نوبت، به فاصله ۲۰ متری از جبهه کار سیستم نگهدارنده نصب شود	به طور موضعی در قسمت تاج تونل پیچ سنگ‌هایی به طول ۳ متر و به فاصله داری ۲/۵ متر و گاه نیز همراه با توری فلزی نصب شود	در صورت لزوم به ضخامت نیازی نیست	۵۰ میلیمتر در قسمت تاج	

جدول ۴- طبقه بندی شاخص کیفی تونل زنی در سنگ.

پارامتر	رودی	مسیر تونل	خروجی	امتیاز
	مقدار	مقدار	مقدار	امتیاز
RQD	۶۴	۷۱	۶۲	۶۲
ضریب مربوط به تعداد درزه ها	چهار دسته درزه	سه دسته درزه به اضافه درزه اتفاقی	دو دسته درزه به اضافه درزه اتفاقی	۹
ضریب مربوط به زبری درزه ها	زبر و ناظم، مسطح	زبر و ناظم، مسطح	زبر و ناظم، مسطح	۱/۵
ضریب مربوط به کاهش دگرسانی درزه ها	ماده پر کننده (کلیست) به خوبی جوش خورده و سخت و غیر قابل نرم شدن	ماده پر کننده (کلیست) به خوبی جوش خورده و سخت و غیر قابل نرم شدن	ماده پر کننده (کلیست) به خوبی جوش خورده و سخت و غیر قابل نرم شدن	۰/۷۵
ضریب مربوط به آب درزه ها	حفاری در محیط خشک و کمتر از ۵ لیتر در دقیقه بطور موضوعی	حفاری در محیط خشک و کمتر از ۵ لیتر در دقیقه بطور موضوعی	حفاری در محیط خشک و کمتر از ۵ لیتر در دقیقه بطور موضوعی	۱
ضریب مربوط به کاهش تنش	تشنگی متوسط	تشنگی متوسط	تشنگی متوسط	۱
Q	۸/۵۳	۱۱/۸۳	۱۳/۷۷	خوب
کلاس	متوسط	خوب	خوب	

سنگهای مسیر تونل، از لحاظ ساختاری به صورت بلوکی تا خیلی بلوکی که قفل شدگی قطعات خوب بوده کمی دست خورده که از تقاطع ۴ سری ناپیوستگی تشکیل شده است و سطوح درزهای زبر با هوازدگی خیلی کم می باشند(شکل ۳). به این ترتیب دامنه مقادیر GSI در حدود ۴۶-۵۸ است که تفاوت کمی با برآورد RMR از طبقه بندی های RMR و Q قابل مقایسه است.

$$D_{\max} = 2ESR \cdot Q^{0.4} \quad (3)$$

$$P_{root} = \frac{200}{J_r} \cdot Q^{\frac{1}{3}} \quad (4)$$

همانگونه که پیش بینی می شد برآورد کیفیت تونل سنگ از طریق Q تقریباً یک درجه ضعیف تر از روش RMR نشان می دهد که به این ترتیب سیستم نگهداری پیش بینی شده توسط Q از RMR کمی سنگین تر است.

تحلیل عددی به کمک نرم افزار² Phase²

جهت بررسی میزان پایداری تونل سنگ در بر گیرنده تونل و مدلسازی رفتار تونه های سنگی پس از شکستگی و نیز بر هم کنش سنگ و سیستم نگهداری بهترین روش استفاده از روش های عددی کامپیوتری به نظر می رسد. در این راستا از نرم افزار² Phase² کمک گرفته شده است که بر پایه اجزای محدود (Finite Element) می باشد. در این روش تونل سنگ مورد مطالعه را به قطعات کوچکتری تقسیم می کنند که هر کدام به عنوان یک عنصر نام می گیرند. همچنین فرض می گردد که این عناصر دارای خواص مخصوص به خود بوده و در نقاط مشخصی که گره نامیده می شوند به یکدیگر متصل می شوند. جابجایی ها در محل گره ها اتفاق می افتد، بنابراین در این روش تونل سنگی که بی نهایت درجه آزادی دارد به جسمی شبیه سازی می شود که تنها ۲ تا ۳ برابر تعداد گره ها درجه آزادی دارد. (مدنی-۱۳۸۱؛ قارونی و همکاران ۱۳۸۰، مدنی ۱۳۷۹، Varadarajan *et al.* 2001).

شکل ۴ تونل سنگ در بر گیرنده فضای حفاری شده که به عناصر کوچکتری المان بندی شده است را نشان می دهد. به طور کلی برای تحلیل و بررسی سازه های زیر زمینی محاسبه تنشهای بر جا از ابتدایی ترین مراحل می باشد. مقدار عددی تنش

جدول ۵- میزان فشار تکیه گاهی و ماکزیمم دهانه بدون نگهدارنده بر اساس رده بندی Q.

ماکزیمم دهانه بدون نگهدارنده (متر)	موقعیت	فشار تکیه گاهی دائمی (Mpa)
۰/۶۴	رودی	۷/۵
۰/۵۷	مسیر تونل	۸/۶
۰/۵۴	خروجی	۹/۱

جدول ۶- سیستم نگهدارنده پیشنهادی برای تونل بر اساس رده بندی Q.

موقعیت	سیستم نگهدارنده
ورودی	پیچ سنگ کششی به طور منظم و گسترده به فاصله ۱/۳-۱/۵ متری یا شاتکریت به ضخامت ۴-۵ سانتیمتر
مسیر	پیچ سنگ کششی به طور منظم و گسترده و به فاصله ۱/۵-۲ متری یا شاتکریت به ضخامت کمتر از ۴ سانتیمتر
تونل	پیچ سنگ کششی به طور منظم و گسترده و به فاصله ۱/۸-۲ متری یا شاتکریت به ضخامت کمتر از ۴ سانتیمتر
خروجی	

اندیس مقاومت زمین شناسی

این سیستم توسط هوک و براون (Hoek & Brown 1997) ابداع شده است (Brown 1997). در این روش بر حسب تعداد دسته درزه و شرایط درزه ها (از قبیل زبری و درجه هوازدگی و دگرسانی) تونل سنگ اندیس مقاومت زمین شناسی GSI را تعیین می نماییم. با توجه به شرایط تونل

$$K = 0.25 + 7E_h \left(1 + \frac{1}{Z} \right) \quad (5)$$

بنابراین میزان تنش افقی $1/14$ برابر تنش قائم در نظر گرفته می‌شود.

مدل سازی توده سنگهای در بر گیرنده تونل انحراف

جهت بررسی و مدل سازی تونل نیاز به پارامترهای مقاومتی توده سنگ از قبیل میزان مدول تغییر شکل پذیری، نسبت پوآسان، ثابت های هوک-برآون و غیره می‌باشد. با توجه به اینکه روش حفاری به صورت انفجاری می‌باشد و نتیجتاً خواص ژئومکانیکی توده سنگ را نیز تحت تاثیر قرار می‌دهد لذا بایستی این تغییرات در حین مراحل تحلیل مدل نظر قرار گیرد. حال با توجه به شرایط زمین شناسی توده سنگ وجود نایپوستگی ها میزان فاکتور تاثیر انفجار (رهایی) تنش بر روی توده سنگ $D=0.5$ معادل در نظر گرفته می‌شود.

برآورد پارامترهای مقاومتی توده سنگ

در این راستا بر روی تعدادی نمونه حاصل از مغزه های حفاری آزمایش تراکمی تک محوری، آزمایش تراکمی ۳ محوری، آزمایش کشش بزرگیلین و آزمایش بار نقطه‌ای بر اساس استانداردهای ISRM انجام گردیده است. در این سایت به دلیل عدم انجام آزمایشات برجا مدول الاستیسیته توده سنگ و سایر پارامترهای توده سنگ تعیین نشده است که بر اساس اطلاعات صحرایی و برداشت‌های این پارامترها برداشت شده است. حال به کمک اطلاعات حاصل از طبقه بندی و انجام آزمایشات بر روی مغزه های حفاری می‌توان خواص مقاومتی و تغییر شکل توده سنگها را در محل تعیین نمود. در این راستا معیار هوک و برآون برای سنگ های دست خورده (مؤثر از انفجار) مورد استفاده قرار گرفته که بصورت معادله زیر بیان می‌شود (Hoek 2002). جدول ۷ پارامترهای مقاومتی در حالت دست خورده را نشان می‌دهد.

جدول ۷- پارامترهای مقاومتی در حالت دست خورده ($D=0.5$)

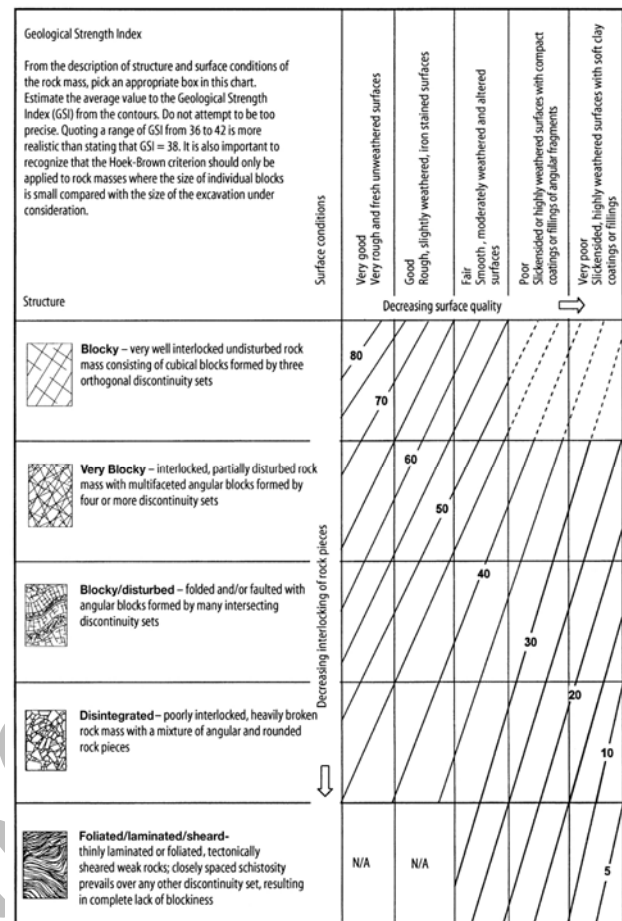
پارامتر موقعیت	m_b	m_i	s	a	E_m (Gpa)	δ_C (Mpa)	δ_t (Mpa)	c (Mpa)	ϕ (deg)
وروپی	1.2	12	0.002	0.5	7.287	3	-0.1	0.5	53.9
مسیر	1.2	12	0.001	0.5	6.880	2.8	-0.1	0.5	53.6
تونل									
خروجی	1.1	12	0.001	0.5	6.131	2.4	-0.1	0.5	53

$$\delta_1 = \delta_3 + \delta_C \left[m_b \frac{\delta_3}{\delta_C} + S \right]^a \quad (7)$$

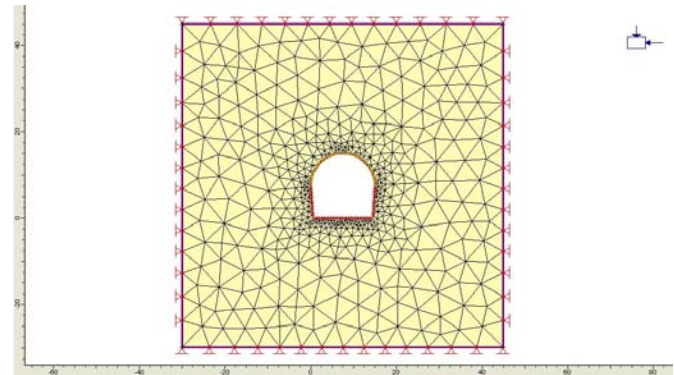
در رابطه بالا m_b مقدار ثابت m برای توده سنگ می‌باشد و توسط رابطه ذیل بدست می‌آید.

$$m_b = m_i \exp \left[\frac{GSI - 100}{28 - 14D} \right] \quad (8)$$

در رابطه بالا s و a ثابت های توده سنگ می‌باشد که توسط روابط زیر



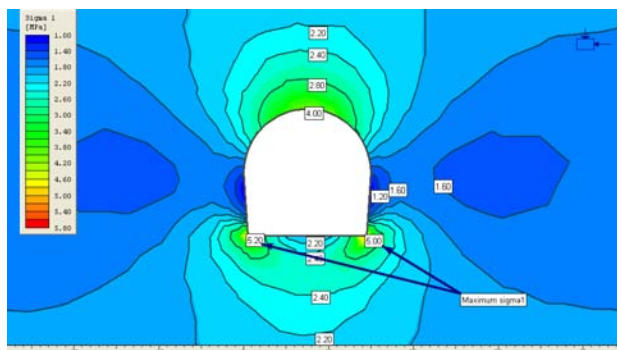
شکل ۳- تعیین شاخص GSI بر اساس بررسی های صحرایی منطقه مورد مطالعه.



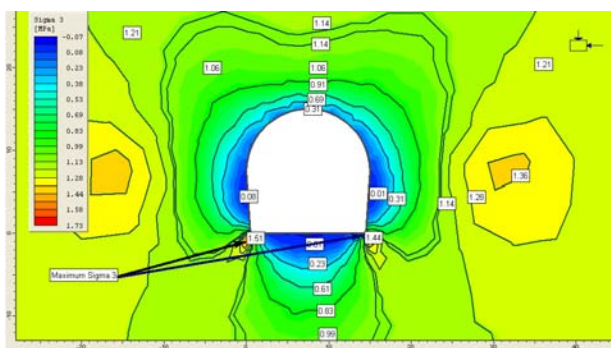
شکل ۴- شبکه المان بندي شده در اطراف فضای حفاری شده.

عمودی δ_V را با در نظر گرفتن میزان روباره و همچنین وزن واحد حجم ذرات قابل محاسبه می‌باشد. تعیین تنش افقی δ_H به دلیل وجود تنشهای حاصل از فرآیندهای تکتونیکی؛ زمین‌شناسی و تغییرات توپوگرافی بسیار مشکل می‌باشد. جهت تعیین مقدار تنش افقی (با در نظر گرفتن گسل رانده طلایه که در فاصله یک کیلومتری سایت مورد نظر می‌باشد) می‌توان از فرمول ذیل استفاده نمود.

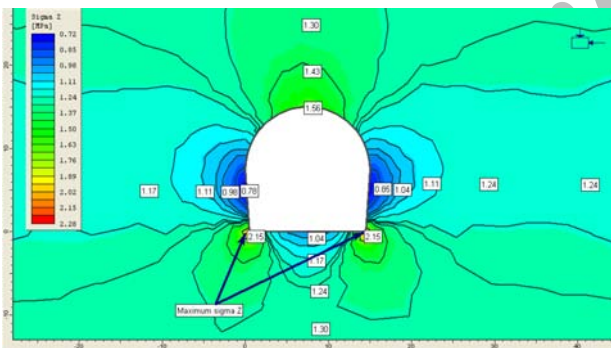
زدن را انجام داد و در صورت نیاز می‌توان تحلیل مجدد تونل را با در نظر گرفتن پیچ سنگ مذکور بعمل آورد.



شکل ۵- میزان تنش حداکثر الفایی در اثر حفاری فضای زیرزمینی.



شکل ۶- میزان تنش حداکثر در اثر حفاری فضای زیرزمینی.



شکل ۷- میزان تنش متوسط در اثر حفاری فضای زیرزمینی.

با استفاده از نرم افزار Phase^2 چگونگی جابجایی در نقاط مختلف اطراف تونل قابل ارزیابی است. مقدار جابجایی حداکثر افقی (دیواره جانبی) و حداکثر عمودی (کف تونل) تقریباً همخوانی دارند ($3/3$) میلیمتر افقی و $2/28$ میلیمتر عمودی). دلیل این را می‌توان شکل تقریباً متقارن تونل در نظر گرفت. مقایسه جابجایی کل با جابجایی عمودی و افقی نشان می‌دهد که بیشترین جابجایی در دیواره به صورت افقی و در کف و تاج ناشی از جابجایی عمودی است (اشکال ۸، ۹ و ۱۰). در مورد محدوده بحرانی نیز همانگونه که در بخش تنش اصلی ذکر شد، نقاط بحرانی تونل از لحاظ تسلیم و گسیختگی بخشی‌های تاج

تعیین می‌گردد.

$$s = \exp\left[\frac{GSI - 100}{28}\right] \quad (9)$$

$$a = \frac{1}{2} - \frac{1}{6} \left[e^{\frac{GSI - 100}{15}} - e^{-\frac{20}{3}} \right] \quad (10)$$

در روابط بالا s , a , GSI عبارتند از ثابت هوک-براون و اندیس مقاومت زمین شناسی می‌باشند.

همچنین مقاومت فشاری تک محوری (با فرض $\delta_3 = 0$) و مقاومت کششی (با فرض $\delta_1 = \delta_3 = \delta_1$) سنگ با استفاده از فرمول‌های ذیل قابل محاسبه می‌باشد.

$$\delta_1 = \delta_C \cdot S^a \quad (11)$$

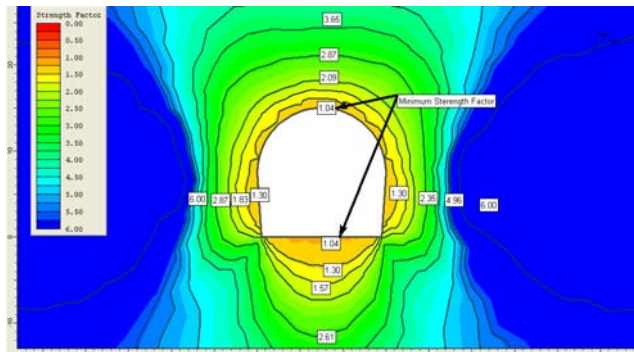
$$\delta_t = \frac{s \delta_C}{m_b} \quad (12)$$

لازم به ذکر است مقدار مدول الاستیک از روابط مختلف تجربی قابل حصول می‌باشد. از طریق رابطه بنیاوسکی حداقل مقدار (دست پائین) و از طریق رابطه Q مقدار حداکثر (دست بالا) بدست می‌آید. تحلیل عددی به کمک نرم افزار Phase^2 نیازمند اطلاعات ورودی (خواص توده سنگ) است که این خواص نیز عمدهاً به صورت ثابت های معیار هوک-براون می‌باشد، بنابراین در این مقاله ترجیح داده تا از رابطه هوک-براون برای تعیین مدول الاستیسیته که بر مبنای GSI است، استفاده گردد.

نتایج تحلیل عددی توسط نرم افزار Phase^2

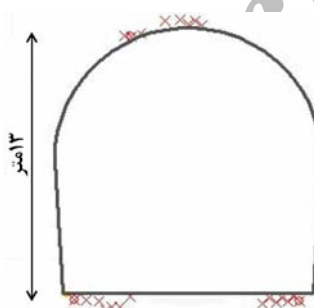
با استفاده از نرم افزار Phase^2 چگونگی توزیع تنشهای اصلی در نقاط مختلف اطراف تونل نشان داده شده است (اشکال ۵، ۶ و ۷). همانطور که مشاهده می‌گردد بیشترین تمرکز تنش در گوشه‌های پایینی فضای حفاری شده است. این حالت می‌تواند ناشی از تمرکز تنش و رها شدن ناگهانی و شدیدتر تنش در این قسمتها باشد. بنابراین بایستی در جهت کاهش این تنش‌ها در گوشه‌های پایینی مقطع تمهیدات ترمیمی اندیشیده شود. همچنین در سقف تونل نیز مقدار تنش‌های اصلی حداکثر قابل توجه می‌باشد، در حالیکه در دیواره‌ها کمترین مقدار تنش مشاهده می‌شود. چنانچه مقدار تنش اصلی حداکثر را با مقدار σ_c توده سنگ مقایسه شود، بطور تخمینی می‌توان در مورد رفتار توده سنگهای مسیر تونل اظهار نظر نمود. لازم به ذکر است که مقدار تنش‌های اصلی متوسط و حداقل در گوشه‌های تیز تونل نیز قابل توجه می‌باشد (به ترتیب $2/15$ و $1/51$ مگاپاسکال)، اما در بخش تاج تونل مقدار تنش اصلی حداقل پایین بوده و لذا خطر تسلیم مصالح وجود دارد. برای جلوگیری از این خطر می‌توان یکسری پیچ سنگ حداقل (مثلاً به فاصله یک متر) در تاج در نظر گرفت به این دلیل که شعاع زون پلاستیک کمتر از یک متر می‌باشد و در مورد گوشه‌های تیز تونل نیز می‌توان عملیات ترمیمی نظیر پخ

آستانه گسیختگی است. لذا بایستی برای این نقاط نگهدارنده و حاصل مناسب در نظر گرفته شود. البته نصب یک حایل حداقل (در حد چند پیچ سنگ) کافی می‌باشد. از طرف دیگر چنانچه مشاهده می‌شود فاکتور مقاومت در جداره جانبی تونل معادل $1/3$ می‌باشد که نسبت به تاج و کف تونل بیشتر است و جداره تونل در محدوده نسبتاً مطمئن تری قرار دارد. اگر چه یک حفاظت حداقل (چند پیچ سنگ) می‌تواند جهت اطمینان مفید باشد.



شکل ۱۱- فاکتور مقاومت در نقاط مختلف اطراف تونل.

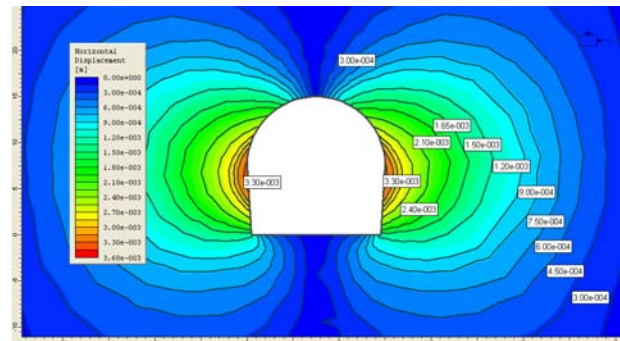
با استفاده از نرم افزار فوق الذکر می‌توان راجع به وضعیت گسیختگی در توده سنگ اظهار نظر نمود. چنانچه در شکل شماره ۱۲ مشاهده می‌شود گسیختگی برشی نسبت به کششی بیشتر رخ می‌دهد. گسیختگی برشی همانطور که در مورد تنش اصلی حداکثر توضیح داده شد در تاج و گوشه‌های تیز کف رخ می‌دهد. در تعداد کمی از نقاط نیز گسیختگی کششی اتفاق می‌افتد. نقاط بحرانی کماکان بایستی مطابق با آنچه در مورد تنش اصلی حداکثر اصلی توضیح داده شد مورد حفاظت قرار گیرند.



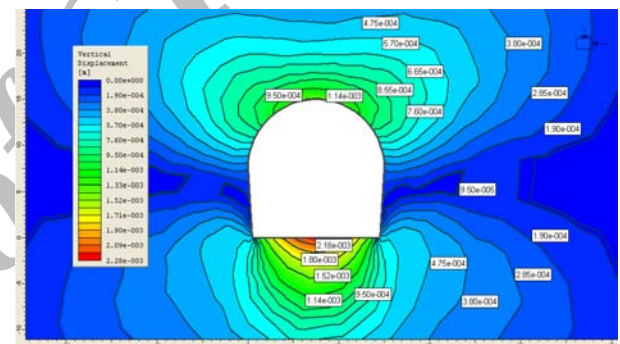
شکل ۱۲- جانمایی گسیختگی‌های کششی و برشی ایجاد شده در توده سنگ پس از حفاری.

نتیجه گیری
تونل انحراف سد خرسان ۳ در میان توده سنگ‌های آهکی آسماری حفاری خواهد شد، در این مقاله ۳ روش برای تحلیل پایداری و

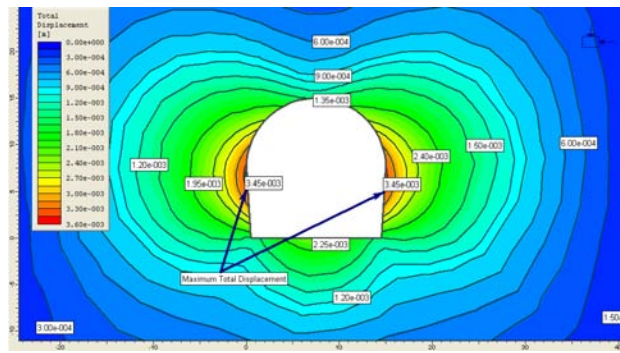
و گوشه‌های تیز کف تونل می‌باشد. همانطور که گفته شد به نظر می‌رسد در تاج تونل بایستی در حد نیاز و با طول مناسب پیچ سنگ نصب شود تا بتواند منطقه بحرانی (گسیخته) را به بخش بالایی سالم آن متصل نماید.



شکل ۸- میزان جابجایی افقی.



شکل ۹- میزان جابجایی عمودی.



شکل ۱۰- میزان جابجایی کل.

همانطور که در مورد تنش اصلی حداکثر حدس زده شد تاج تونل و کف تونل یکی از نقاط بحرانی با کمترین فاکتور مقاومت می‌باشند (شکل ۱۱). به هر حال اگر چه مقدار σ_1 در این نقاط نسبت به نقاط بحرانی دیگر جداره و تاج تونل کم است ولی مقدار تغییر مکان عمودی ناشی از رها سازی تنش عمودی زیاد است، در نتیجه این نقطه سریعاً به گسیختگی خواهد رسید. در کل مقادیر حداقل فاکتور مقاومت حدود یک است که نشان از قرار داشتن نقاط بحرانی (تاج و کف) در

تمهیدات پیشنهادی بنیاوسکی در این پروژه در نقاط مورد نیاز کمک گرفته شود.

۳- تحلیل پایداری به کمک نرم افزار *Pahse²*, که بر اساس ویژگیهای مقاومتی توده سنگ و شرایط تنفس موجود در منطقه می‌باشد، انجام گردید. طبق نتایج بدست آمده مشاهده می‌گردد که بیشترین جابجایی افقی و عمودی در دیواره تونل و به میزان $\frac{3}{4}$ میلیمتر در کف تونل به مقدار $2/28$ میلیمتر می‌باشد که بسیار جزئی می‌باشد. همچنین تمرکز تنفس در گوشه‌های فضای حفاری شده بوجود آمده است. به این ترتیب احتیاج به نصب نگهدارنده سیستماتیک نمی‌باشد و تنها در نقاطی از تاج که گسیخته می‌شوند پیچ سنگ با طول 4 متر در صورت نیاز پیش بینی می‌گردد. در نهایت از دید روش‌های تجربی نگهداری مورد نیاز است اگرچه روش عددی آنرا توصیه نمی‌کند. در حقیقت روش تجربی سیستم نگهداری را به صورت محافظه کارانه در نظر می‌گیرد.

طراحی سیستم نگهدارنده استفاده گردیده است.

۱- به کمک نرم افزار unwedge تحلیل پایداری انجام گردیده و گوه هایی در مسیر تونل شناسایی شد. اگرچه تعداد این گوه‌ها زیاد هستند ولی حجم آنها بسیار کم بوده و دارای فاکتور مقاومت کمی می‌باشند. اصولاً دارای وزنی کمتر از یک تن بوده و برای تثبیت آنها می‌توان از شاتکریت استفاده کرده و یا لق‌گیری نمود. بنابراین نیاز به نگهداری سیستماتیک نمی‌باشد (Bhasin & Grimstad, 1996).

۲- با توجه به سیستم نگهدارنده پیشنهادی توسط دو روش تجربی RMR و Q ملاحظه می‌گردد که در سیستم پیشنهادی بنیاوسکی به شرایط توده سنگ در برگیرنده به صورت واقع بینانه تری توجه می‌گردد که این موضوع با توجه به داده‌ها و نتایج حاصل از تحلیل توسط روش عددی به کمک نرم افزار *Pahse²* به وضوح دیده می‌شود. در روش پیشنهادی بارتن شرایط بحرانی تر و ارائه پیشنهادات جهت سیستم نگهدارنده محتاطانه تر می‌باشد. حال با در نظر گرفتن شرایط پروژه و فاکتور مقاومت مورد نیاز به نظر می‌رسد که بهتر است از

منابع

اجل لوئیان ر., محمدی س.د. ۱۳۸۲: رده بندی توده سنگ، ترجمه، انتشارات فن آردن.

اجل لوئیان ر., دادخواه ر. ۱۳۸۳: بررسی علل ریزش در تونل چشممه لنگان، بیست و دومین گردهمایی علوم زمین.

اجل لوئیان ر., دادخواه ر., شیریان ف. ۱۳۸۳: بررسی ویژگیهای زمین شناسی مهندسی سد خرسان ۳ هشتمین همایش زمین شناسی ایران، شاهروд.

طاهریان ع. ۱۳۸۱: مهندسی سنگ کاربردی، ترجمه، انتشارات دهخدا.

قاروونی نیک م., همزه ابیازنی م. ۱۳۸۰: نگهداری حفریات زیر زمینی در سنگهای سخت، ترجمه، انتشارات نص.

مدنی ح. ۱۳۸۱: تونل‌سازی (طراحی و اجرای سیستم نگهدارنده)، جلد چهارم، تالیف، انتشارات دانشگاه صنعتی امیر کبیر.

مدنی ح. ۱۳۷۹: تونل‌سازی (تحلیل پایداری)، جلد سوم، تالیف، انتشارات دانشگاه صنعتی امیر کبیر.

Bieniawski Z.T. 1976: Rock mass classification in rock engineering. In *Exploration for Rock Engineering*. **1**: 97-106.

Bieniawski Z.T. 1989: Engineering Rock Mass Classifications. Wiley, New York. 251 pages.

Bieniawski Z.T. 1984: Rock Mechanics Design in Mining & Tunneling: A. A. Balkema, 269 pages.

Barton N., Loset-Lien R., Lunde J. 1980: Application of the Q-system in design decisions. In *Subsurface spsce*. **2**: 553-561.

Barton N. 1995: The influence of joint properties in modeling jointed rock masses. Keynote lecture, Proc. 8th ISRM Cong., Tokyo. **3**: 1023-1032.

Barton N. 1999: General report concerning some 20th Century lessons and 21st Century challenges in applied rock mechanics, safety and control of the environment. Gen. Rept., Theme 1, Proc. 9th ISRM Cong., Paris. 3: 21.

Barton N. 2002: Some new Q-value correlations to assist in site characterization and tunnel design. *Intnl. J. Rock Mech. & Mining Sci. & Geomechanics*, Vol. 39. 2002. pp. 185-216.

Bhasin R., Grimstad E. 1996: The use of stress- strength relationships in the assessment of tunnel stability. *Intnl. J. Rock Mech. & Mining Sci. & Geomechanics*. Vol. 33. No. 7. pp. 93-98.

Hoek E., Brown E.T. 1997: Practical estimates of rock mass strength. *Intnl. J. Rock Mech. & Mining Sci. & Geomechanics Abstracts*. **34**: 1165-1186.

Hoek E., Brown E.T. 1980: Underground Excavations in Rock. London, The Institute of Mining and Metallurgy, London, England.

Hoek E., 2002: A Brief History of the Hoek-Brown Failure Criterion. Accessed through the program RocLab, pp. 4.

Varadarajan A., Sharma K.G., Desai C.S., Hashemi M. 2001: Analysis of a powerhouse cavern in the Himalaya. *Int. J. Geomech.* **1**: 109-127.